

II-170 橋脚周辺の洗掘、特に迎え角による効果について（分=報）

日本大学理工学部 正員 ○栗津清藏
日本大学理工学部 正員 食持明夫

3.1. まえがき

橋脚周辺の洗掘、特に迎え角の効果への解説として、前報[1]にありて a) 固定床における局所流速、b) 移動床の安定理論(Regime theory)による結果を示した二方向よりアプローチした。その結果 a) の方法によつて次の(1)式の結果を得た。ただし $K = d/B$ すなはち橋脚の水路に沿う投影幅と水路幅との比で、洗掘深は初期移動床面から測られた平衡洗掘深である。b) の方法によつて洗掘面の水深について(2)式の結果が得られた[2]。なお迎え角のある場合はそのときの K を K_0 とおくことによつて(2)式は十分实用化供された[1]にとがわかった。以上2つの方法によつて迎え角の効果を示したが、特に図-1の資料の散りばりについて検討する。

$$\frac{h_{so}}{h_{se}} = (K_0/K)^{2/3}, \quad 0.051 \leq K_0 \leq 0.129, \quad \theta \leq 30^\circ \quad (1)$$

$$h = \frac{1.44}{\sqrt{f}} \left(\frac{q}{1-K} \right)^{2/3}, \quad f = 2.44 \sqrt{d_m (\text{mm}) / 24.5} : \text{Lacey's silt factor} \quad (2)$$

(m-unit)

3.2. ちらばりについての検討

資料のちらばりを検討するためには、次式1:走査す3 Q_2 (無次元)を測定値より求め、そのときの γ を検討する。(1)式の K_0/K は注目して $d_m = 0.15 \text{ cm}$ を対象として Q_2 の関係を図示したのが図-2であるが Q_2 は $1.0 > Q_2 > 0.6$ の範囲でその相間は得られない。

$$Q_2 = h / \left\{ \frac{1.44}{\sqrt{f}} \left(\frac{q}{1-K_0} \right)^{2/3} \right\} \quad (3)$$

i) 平衡洗掘深は常に Q_2 に依る。

例えは $t/r = 5.0$, $r(\text{cm}) = 0.5, 1.0$, $d_m =$

0.25 cm の資料から Q_2 を求め図示すると図-3が得られた。これから $Q_2 = f(K_0/K, F_r)$ と見て F_r が増加する K_0/K の効果がよく現れてくる。そこで F_r が小さいときに K_0/K がどのように変化するかを調べたが、 $F_r = 0.25$ で $d_m = 0.25 \text{ cm}$, $d_m = 0.15 \text{ cm}$, のそれを用いたときの平衡洗掘深は常に Q_2 の資料を図示すると図-4が得られた。この図から河床物質による差は余り認められずが、 K_0/K の効果があることがわかった。従つて平衡洗掘深は常に Q_2 の資料のちらばりは F_r と K_0/K に支配されることが判明した。

ii) 洗掘発生限界は常に Q_2 に依る。

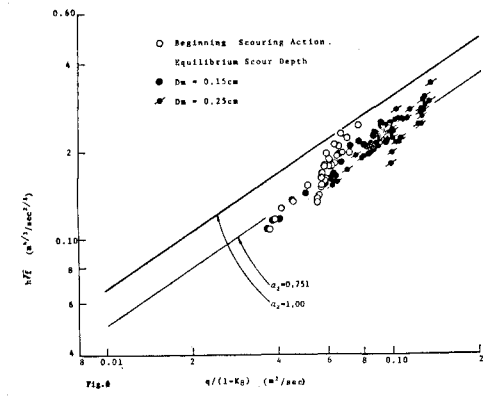


図-1

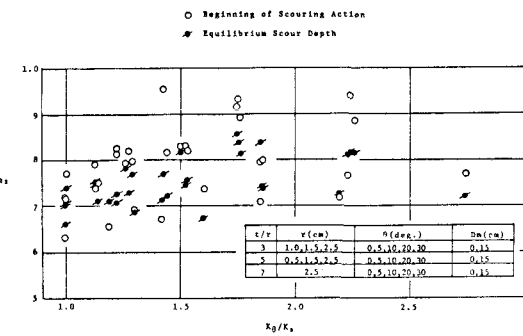


図-2 Relationship between The Beginning of Scouring Action and The Equilibrium Scour Depth

図-2

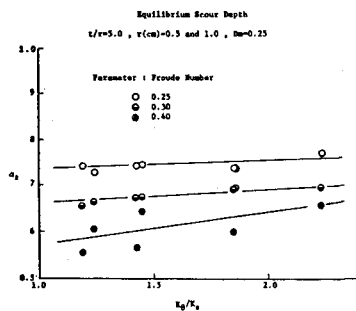


Fig. 5 Proportional Constant a_2 in The Equilibrium Scour Depth.

図-3

洗掘発生限界時と平衡洗掘深時(共に橋脚底の安定期理論の立場をとる)同一現象と考えられ[2], a_2 と t/r とに注目すると図-3にありて、 a_2 は F_r が小さくなるほど従って K_0/K_0 の効果が減少する傾向が見られる。一般に平衡洗掘深を求める実験の F_r は洗掘発生限界時の F_r より大きくなることに注目すると、 a_2 に対する K_0/K_0 の効果は小さいものと推論される。この推論は立脚して $D_m = 0.15 \text{ cm}$ に関する資料より a_2 を求め図示すると図-5 が得られる。予測した a_2 と F_r の相関が得られた。

iii) 邊り角をもつた場合の Regime depth: ついて。

図-1に示されたように資料にかなりのちがいがあるが、それはさうばりの中心を取つて実験式を説明する上、 $a_2 = 0.751$ は相当しづかのようになつた。

$$h = \frac{1.32}{\sqrt{f}} \left(\frac{q}{1-K_0} \right)^{2/3} \quad (\text{m-unit}) \quad (4)$$

(しかし安全側を考慮すると $a_2 = 1.0$ とし、 $K \approx K_0$ に取つた(2)式、あるいは $a_2 = 1.0$ とし(3)式によつて示されると、まだ適用範囲は $0.051 \leq K_0 \leq 0.129$, $3.0 \leq t/r \leq 7.0$, $0^\circ \leq \theta \leq 30^\circ$ である。

§3. まとめ

橋脚周辺の洗掘発生現象、平衡洗掘深への Regime theory はよ3アプローチ: ついて、(3)式で表す a_2 のちがいは、洗掘発生現象における $a_2 = f(F_r)$ 、平衡洗掘深における $a_2 = f(F_r, K_0/K_0)$ の関係がある。なぜこのような相違が出て来るのか? 種々の原因が考えられるがその根本となるのは、洗掘発生限界のときの局所流速と平衡洗掘深が得られるときの局所流速との相違に起因するものと解したい。

すくにせよ巨視的立場からみた現象のアプローチとして Regime theory の立場が出发することは工学の立場から興味ある結果が得られたことが確認された。

最後にこの研究は 小川育英会 研究助成の補助を受けたことを付記すると共に、実験に協力された方々、日本大学理工学部の水理研究会のメンバー並び関係各位に厚く感謝申し上げます。

参考文献

- [1] 藤津・余持: 「橋脚周辺の洗掘、特に邊り角による効果について」 土木学会 第30回年次学術講演会 S.50.
- [2] 藤津: 「橋脚の周りの洗掘についての検討」 土木学会 第28回年次学術講演会 S.48.